

ΦΥΣΙΚΗ.— Ή ατμοσφαιρική ρύπανση τῶν ἐσωτερικῶν χώρων: Μιὰ ἀπειλὴ γιὰ τὴν πολιτιστικὴ μας κληρονομιά, ὑπὸ τοῦ Ἀκαδημαϊκοῦ κ. Π. Σ. Θεοχάρη ἐν συνεργασίᾳ μετὰ τῶν κ.κ. Χρ. Ζερεφοῦ, Γ. Δράκου, Ι. Ζιώμα καὶ G. Cass, διὰ τοῦ ἀκαδημαϊκοῦ κ. Περ. Θεοχάρη.

ΕΙΣΑΓΩΓΗ

Στὴ σύγχρονη ἐποχή, ἡ εὐρωπαϊκὴ πολιτιστικὴ κληρονομιά, ποὺ ἐπέζησε ἀπὸ πολέμους, κλοπές, πυρκαγιές, ἀπειλεῖται ἀπὸ ἕνα καινούριο κίνδυνο, τὴ ρύπανση τοῦ περιβάλλοντος (Euro abstracts, 1995). Ἡ δράση τῶν ρύπων ἀλλοιώνει, καὶ τὶς περισσότερες φορὲς μὴ ἀντιστρέψιμα, μνημεῖα καὶ κτίρια. Τὸ χειρότερο δὲ εἶναι ὅτι, ὅπως δείχνει ἡ συστηματικὴ ἔρευνα τὰ τελευταῖα χρόνια, ἀπειλεῖ καὶ τὸν πολιτιστικὸν θησαυρὸν ποὺ βρίσκονται σὲ ἐσωτερικοὺς χώρους, ὅπως μουσεῖα, πινακοθῆκες, ἐκκλησίες, βιβλιοθῆκες, ἀρχειοθῆκες (Thomson, 1978· Baer and Banks, 1985b· Cass et al., 1989· Bribblecombe, 1990· E. C. Research Workshop, 1995· Havermans, 1995· Larsen 1995· Leissner et al., 1995). Ἡ καταστροφικὴ δράση τοῦ περιβάλλοντος δὲν ἀλλοιώνει μόνον αἰσθητικὰ τὰ μοναδικὰ αὐτὰ ἀντικείμενα, ἀλλὰ συνοδεύεται καὶ μὲ τὴν ἀπώλεια πολύτιμων πληροφοριῶν, ποὺ, ἀκόμη καὶ ἐὰν καταστεῖ δύνατὸν νὰ ἐπανορθωθεῖ αἰσθητικὰ τὸ ἀντικείμενο, αὐτὲς χάνονται.

Ρύποι ποὺ συνήθως προέρχονται ἀπὸ τὸ ἔξωτερικὸ περιβάλλον καὶ διεισδύουν στὰ μουσεῖα κτλ. εἶναι τὸ ὄζον, τὰ ὀξείδια τοῦ ἀζώτου, τὸ νιτρικὸ ὀξύ, τὸ διοξείδιο τοῦ θείου, τὰ περοξυακετυλονιτρίλια (PAN) (Cass et al., 1989· Hisham καὶ Grosjean, 1991). Ἄλλοι ὄμως ρύποι, ὅπως φορμαλδεΰδη, μυρμηγκικὸ ὀξύ, ὀξικὸ ὀξύ καὶ χλωριαμένοι υδρογονάνθρακες, δημιουργοῦνται ἀπὸ ἐσωτερικὲς πηγὲς ποὺ ὑπάρχουν μέσα στὰ κτίρια (Baer and Banks, 1985· Bribblecombe, 1990· Hisham and Grosjean, 1991). Στὰ μουσεῖα, ἵσως οἱ πιὸ συχνὰ ἀπαντώμενες ἐσωτερικὲς πηγὲς ρύπων εἶναι οἱ ἐπισκέπτες καὶ διάφορα καταναλωτικὰ ὑλικά.

Τὰ ἀερομεταφέρομενα σωματίδια, εἰδικὰ τὰ πολὺ μικρά, ὅπως αὐτὰ τῆς αἰθάλης, εἶναι πανταχοῦ παρόντα στοὺς ἐσωτερικοὺς χώρους καὶ συνιστοῦν μιὰ μεγάλη ἀπειλὴ γιὰ τὰ ἔργα τέχνης, ἀλλὰ ἡ μελέτη τους εἶναι ἐκτὸς τοῦ σκοποῦ αὐτῆς τῆς παρουσίασης (Nazaroff et al., 1993· Christoforou et al., 1994). Θὰ μᾶς ἀπασχολήσει ἐδῶ ἡ ἀπειλὴ ἀπὸ τὸν φωτοχημικὰ συνδεόμενους ἀέριους ρύπους σὲ χώρους ποὺ στεγάζουν

* P. S. THEOCARIS, CHR. ZEREFOS, G. DRAKOU, J. ZIOMAS, G. CASS. Indoor air pollution: A threat to our cultural heritage.

πολιτιστικές συλλογές. Ο Πίνακας 1 συνοψίζει μερικά, διεθνώς αποδεκτά, έπιτρεπόμενα όρια για τις μέγιστες έσωτερικές συγκεντρώσεις δρισμένων δραστικῶν αερίων ρύπων σε κτίρια που στεγάζουν πολιτιστικούς θησαυρούς και μερικές έπισης γνωστές έπιδράσεις τῶν ρύπων αύτῶν σε ίλικά άπαντώμενα σε μουσεῖα, βιβλιοθήκες και άρχειοθήκες (Thomson, 1978· Baer and Banks, 1985b· Brimblecombe, 1990).

ΠΙΝΑΚΑΣ 1.

Κάποια διεθνή όρια έσωτερικῶν συγκεντρώσεων αερίων ρύπων
μέσα σε μουσεῖα, βιβλιοθήκες, άρχειοθήκες
(ἀπό τοὺς Baer and Banks, 1985 a, b· Brimblecombe, 1990)

| ¹ Αέριος ρύπος | Συστηνόμενο όριο | Όργανισμός |
|---------------------------|------------------|------------|
| NO ₂ | 0.0 | NMAB, BML |
| NO ₂ | < 2.5 ppb | NBS |
| O ₃ | 1 ppb | NMAB |
| HNO ₃ | 0.0 | NMAB |

Σχόλια: NMAB = National Materials Advisory Board;
NBS = National Bureau of Standards; BML = British Museum Libraries.

¹Αέριος ρύπος Δράση στὰ ίλικά

(ἀπό τοὺς Tomson, 1978· Baer and Banks, 1985 a, b· Brimblecombe, 1990)

| | |
|------------------|---|
| NO ₂ | Ξεθωριάζει βαφές - χρώματα. Μειώνει τὴν ἀντοχὴ τῶν ύφασμάτων. Έπιδρᾶ στὰ φωτογραφικά φίλμις. |
| O ₃ | Καταστρέφει τὸ καουτσούκ. Ξεθωριάζει βαφές - χρώματα. Έπιδρᾶ στὰ φωτογραφικά ίλικά. Καταστρέφει τὰ βιβλία. |
| HCHO | Έπηρεάζει φωτογραφίες, μεταλλικὰ ἀντικείμενα. |
| HNO ₃ | Έπηρεάζει μεταλλικὰ καὶ μαρμάρινα ἀντικείμενα, χρώματα, ύφασματα, φωτογραφικά ίλικά. |

Η παροῦσα έργασία εἶναι μιὰ μελέτη τῶν έπιπέδων ἀέριας ρύπανσης σὲ δύο ἀντιρροσωπευτικὰ κτίρια τῆς Θεσσαλονίκης, που στεγάζουν ἀνεκτίμητους πολιτιστικούς θησαυρούς. Τὸ ἔνα κτίριο εἶναι μία παλαιά, παραδοσιακὴ ἐκκλησία μὲ φυσικὸ ἀερισμὸ (ἐκκλησία τῆς Ἀγίας Σοφίας), ἐνῷ τὸ ἄλλο εἶναι ἔνα σύγχρονο μουσεῖο μὲ

κοινό μηχανικό σύστημα άερισμού-κλιματισμού (Αίθουσα τῆς Βεργίνας, Ἀρχαιολογικό Μουσεῖο Θεσσαλονίκης). Οι τιμές τῶν ἐσωτερικῶν συγκεντρώσεων δρισμένων ἀντιπροσωπευτικῶν ἀερίων ρύπων, διποικίας O_3 , NO , NO_2 , $HCHO$, PAN , HNO_3 , στὰ κτίρια αὐτὰ ὑπολογίστηκαν μὲ ἐφαρμογὴ τοῦ μαθηματικοῦ μοντέλου τῶν Nazaroff-Cass (1986/89), μὲ τὴ βοήθεια στοιχείων ποὺ προέκυψαν ἀπὸ μετρήσεις. Κάτω ἀπὸ τὴν ὑπόθεση ὅτι ἡ καταστροφικὴ δράση τῶν ἀερίων στοὺς πολιτιστικοὺς θησαυροὺς εἶναι ἀνάλογη τῆς ροῆς τῶν ρύπων πρὸς τὶς ἐπιφάνειες, ἔγινε ἔνας ὑπολογισμὸς αὐτῶν τῶν ροῶν, ἀπὸ τὰ ἀποτελέσματα τοῦ μοντέλου, γιὰ νὰ ἐκτιμηθεῖ ὁ ἐνδεχόμενος κίνδυνος καταστροφῆς τῶν στεγαζομένων ἕργων τέχνης.

**ΕΦΑΡΜΟΓΗ ΤΟΥ ΜΑΘΗΜΑΤΙΚΟΥ ΜΟΝΤΕΛΟΥ ΤΩΝ NAZAROFF—CASS (1986/89)
ΣΤΗΝ ΕΚΚΛΗΣΙΑ ΤΗΣ ΑΓΙΑΣ ΣΟΦΙΑΣ ΚΑΙ ΣΤΗΝ ΑΙΘΟΥΣΑ ΤΗΣ ΒΕΡΓΙΝΑΣ ΣΤΟ
ΑΡΧΑΙΟΛΟΓΙΚΟ ΜΟΥΣΕΙΟ ΘΕΣΣΑΛΟΝΙΚΗΣ**

Τὸ διεθνὲς μαθηματικὸ μοντέλο τῶν Nazaroff-Cass, εἶναι τὸ πλέον πολύπλοκο ἀπὸ τὸ ὑπάρχοντα μοντέλα, τὰ ὄποια στοχεύουν στὴν πρόβλεψη τῶν ἐσωτερικῶν συγκεντρώσεων φωτοχημικὰ συνδεομένων ἀερίων ρύπων. Τὸ μοντέλο, καὶ εἰδικὰ ὁ χημικός του μηχανισμός, δοκιμάστηκε ἐπιτυχῶς σὲ πειραματικὰ δεδομένα πολλῶν ἡμερῶν σὲ δύο κτίρια, τὸ ἔνα τῆς Θεσσαλονίκης καὶ τὸ ἄλλο τῶν Ἀθηνῶν, ἀπὸ τὸ Ἑργαστήριο Φυσικῆς τῆς Ἀτμόσφαιρας, τοῦ Ἀριστοτελείου Πανεπιστημίου τῆς Θεσσαλονίκης (Drakou et al., 1995a· Drakou 1996). Κατόπιν τούτου, τὸ μοντέλο ἐφαρμόστηκε σὲ δύο ἀντιπροσωπευτικὰ κτίρια τῆς Θεσσαλονίκης. Τὸ ἔνα εἶναι μιὰ παλιὰ Βυζαντινὴ ἐκκλησία, φυσικῶς ἀερίζομένη, μὲ μεγάλα παράθυρα καὶ τὸ δεύτερο μιὰ αἱθουσα στὸ ἀρχαιολογικὸ μουσεῖο τῆς Θεσσαλονίκης, ἡ αἱθουσα τῆς Βεργίνας μὲ δικό της σύστημα κλιματισμοῦ, χωρὶς παράθυρα, μὲ τεχνητὸ φωτισμό, ἀπομονωμένη ἀπὸ τὸ ὑπόλοιπο κτίριο (Drakou et al., 1995b).

Τὰ βασικὰ δεδομένα εἰσόδου τοῦ μοντέλου συνοψίζονται στὸν Πίνακα 2. Γιὰ τὴν ἐκκλησία, μέσες ὀριαῖες τιμὲς τῶν ἐξωτερικῶν συγκεντρώσεων τῶν O_3 , NO , NO_2 , CO καὶ τῶν ὀργανικῶν ἀερίων ἐνώσεων, ἐδόθηκαν ἀπὸ τοὺς ἀρμοδίους τοῦ ἐπιτοπίως λειτουργοῦντος σταθμοῦ τοῦ Δήμου τῆς Θεσσαλονίκης. Τὰ ἀντίστοιχα δεδομένα γιὰ τὸ μουσεῖο ἐδόθηκαν ἀπὸ τὸ Ἑργαστήριο Φυσικῆς τῆς Ἀτμόσφαιρας τοῦ Α.Π.Θ., τοῦ δποίου ὁ σταθμὸς ἐλέγχου τῆς ἀτμοσφαιρικῆς ρύπανσης ἀπέχει 1.5 km ἀπὸ τὸ μουσεῖο. Οἱ ὑπολογισμοὶ τῶν ἐσωτερικῶν συγκεντρώσεων ἔγιναν καὶ μὲ τὶς δύο ἐκδοχὲς τοῦ μοντέλου: Μὲ Χημεία περίπτωση (M.X.) καὶ Χωρὶς Χημεία περίπτωση (X.X.) (Shair and Heitner, 1974· Hales et al., 1974· Nazaroff and Cass et al., 1989).

ΠΙΝΑΚΑΣ 2.

Σύνοψη τῶν δεδομένων εἰσόδου γιὰ τὶς προσομοιώσεις

| Κτίριο | 'Επιφάνεια m ² | 'Ογκος m ³ | Pνθμὸς ἐναλλαγῆς ἀέρα (h ⁻¹) | Φωτισμὸς |
|---|------------------------------|--------------------------|--|----------------|
| | | | ἐναλλαγῆς ἀέρα (h ⁻¹) | Φωτισμὸς |
| 'Αγία Σοφία | 7575 | 9539 | 0,3 - 2,0 | Φυσικὸς |
| Βεργίνα | 1065 | 1065 | 0,0 - 2,3 | Τεχνητὸς |
| <i>Mὲ Χημεία Περίπτωση (M.X.)</i> | | | <i>'Αγία Σοφία</i> | <i>Βεργίνα</i> |
| Ταχύτητες ἐναπόθεσης (cm/sec) | | | | |
| O ₃ | | | 0.051 | 0.036 |
| NO ₂ | | | 0.011 | 0.006 |
| NO | | | 0.003 | 0.0 |
| HCHO, RCHO ^a | | | 0.005 | 0.005 |
| PAN | | | 0.035 | 0.035 |
| HNO ₂ , HNO ₃ , HNO ₄ , HO ₂ , H ₂ O ₂ , | | | | |
| NO ₃ , N ₂ O ₅ , RCO ₃ , RNO ₄ , RONO, RO ₂ | | | 0.07 | 0.07 |
| OLEF ^b , ALK ^c , ARO ^d , CO, C ₂ H ₄ | | | 0.0 | 0.0 |

- a. "Ολες οι άνωτερες 'Αλδεύδες.
 b. Τὸ σύνολο τῶν δλετινῶν.
 c. Τὸ σύνολο τῶν ἀλκανίων.
 d. "Ολοι οι ἀρωματικοὶ ὑδρογονάνθρακες.

Xωρὶς Χημεία Περίπτωση (X.X.)

Περίπτωση μὲ ἴδια δεδομένα εἰσόδου μὲ τὴν M.X., ἀλλὰ ὁ χημικὸς μηχανισμὸς τοῦ μοντέλου τίθεται ἐκτὸς λειτουργίας.

Στὸ σχῆμα 1 (α, β, γ) παρουσιάζονται οἱ μετρημένες ἐκτὸς τῆς ἐκκλησίας συγκεντρώσεις μαζὶ μὲ τὶς ὑπολογισμένες ἀπὸ τὸ μοντέλο μέσα συγκεντρώσεις γιὰ ἓνα διήμερο (6-7 Μαρτίου 1995), γιὰ τοὺς ρύπους O₃, NO, NO₂.

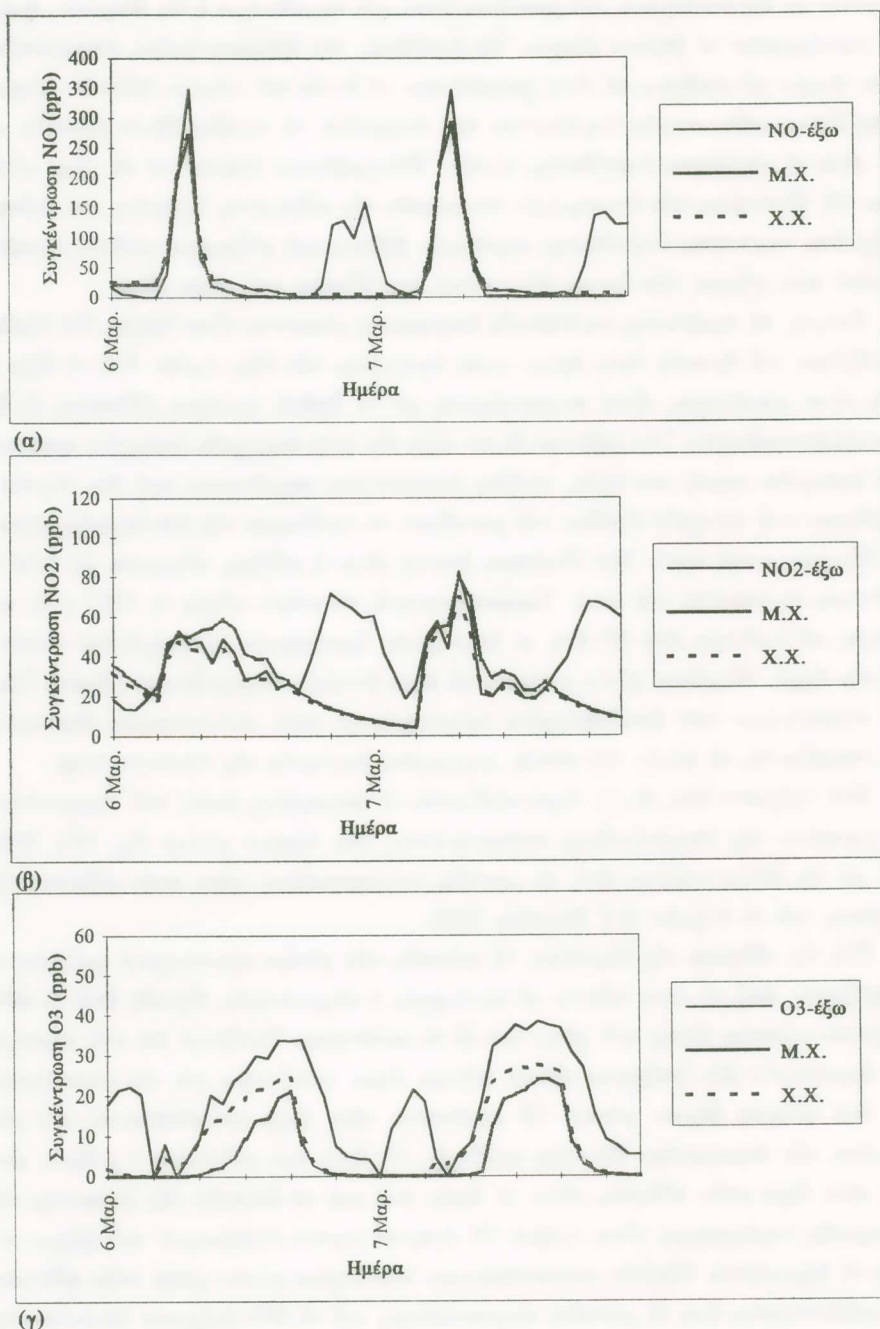
Τὰ συμπεράσματα ποὺ συνάγονται ἀπὸ τὰ ἀποτελέσματα τοῦ μοντέλου εἶναι τὰ ἔξῆς: Τὰ ἐπίπεδα τῶν ρύπων μέσα στὴν ἐκκλησία ἐπιφεύγονται πρωταρχικὰ ἀπὸ τὴ διεύθυνση καὶ τὴν ταχύτητα τοῦ ἀνέμου, παράγοντες ποὺ καθορίζουν τὶς εἰσερχόμενες ποσότητες νέου ἀέρα στὸ κτίριο. "Εχοντας ἡ ἐκκλησία τὴν κυρία εἴσοδό της στὸ βιορρά, πόρτα ποὺ ἀνοιγοκλείνει συνεχῶς τὴν ἡμέρα, ἔχει αὐξημένους ρυθμοὺς ἐναλλαγῆς ἀέρα μὲ τὸν ἔξωτερικὸ ὅταν πνέει βόρειος ἄνεμος. Τότε ὅμως αὐξημένη ἀναμένεται νὰ εἶναι καὶ ἡ μεταφορὰ ρύπων ἀπὸ ἔξω μέσα στὸ κτίριο, γεγονός ποὺ ἐπιβε-

βαιώνουν τὰ ἀποτελέσματα τοῦ μοντέλου ὅπως γιὰ παράδειγμα ἡ 6η Μαρτίου, ἡμέρα ποὺ κυριάρχησαν οἱ βόρειοι ἄνεμοι. Ἐν ἀντιθέσει, τὴν ἐπόμενη ἡμέρα, ἐπεκράτησαν νότιοι ἄνεμοι μὲ συνέπεια νὰ εἶναι χαμηλότερα τὰ ἐντὸς τοῦ κτιρίου ἐπίπεδα ρύπων. "Ενας ἄλλος καθοριστικὸς παράγοντας ποὺ ἐπηρεάζει τὰ προβλεψθέντα ἐπίπεδα ρύπων εἶναι οἱ ταχύτητες ἐναπόθεσης αὐτῶν. Εθεωρήθησαν ὑψηλὲς γιὰ τὸ χῶρο αὐτό, λόγω τῆς ἀδρότητας τῶν ἐσωτερικῶν ἐπιφανειῶν τῆς αὐξημένης ὑγρασίας καὶ σκόνης. Αὔξημένες ταχύτητες ἐναπόθεσης σημαίνουν βέβαια καὶ αὐξημένο κίνδυνο προσβολῆς ἀπὸ τοὺς ρύπους τῶν ἔργων τέχνης ποὺ στεγάζονται στὸ χῶρο αὐτό.

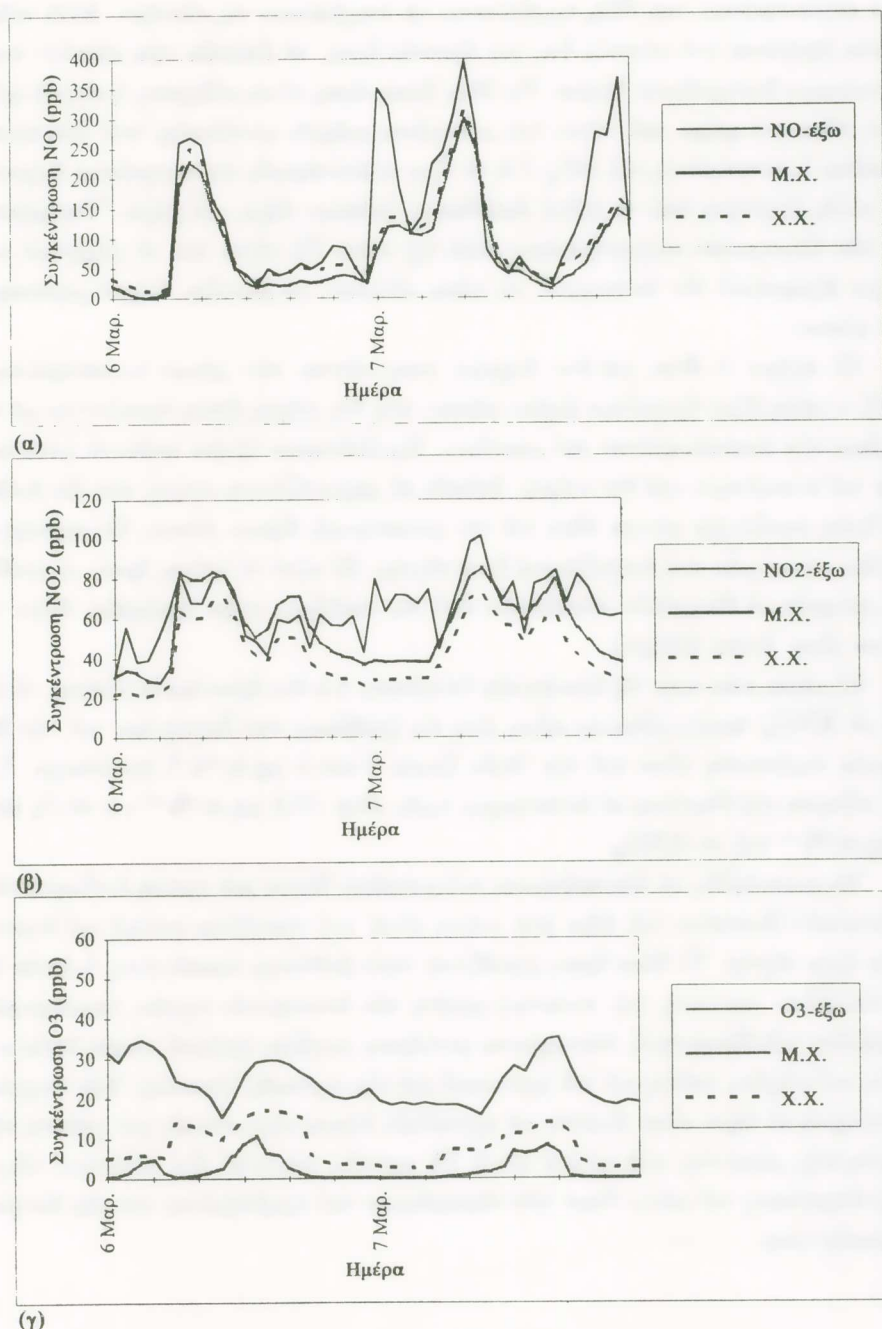
Γενικά, τὰ προβλεπόμενα ἐπίπεδα ἐσωτερικῆς ρύπανσης εἶναι ὑψηλά. Τὰ δξείδια τοῦ ἀζώτου γιὰ ἀρκετὲς ὥρες ἔχουν τιμές ἐφαμιλλες τῶν ἔξω τιμῶν. Γιὰ τὸ δζον οἱ τιμές εἶναι μικρότερες, ἀλλὰ συγκρινόμενες μὲ τὰ διεθνῆ κριτήρια (Πίνακας 1) δὲν εἶναι εὐκαταφρόνητες. "Αν λάβουμε δὲ ὑπὸ ὅψιν ὅτι στὴν ἐκκλησίᾳ ὑπάρχουν κατὰ κανόνα ἀναμμένα κεριά, καντήλες, πλῆθος ἐπισκεπτῶν, παράγοντες ποὺ δὲν συμπεριελήφθησαν στὰ στοιχεῖα εἰσόδου τοῦ μοντέλου, τὸ πρόβλημα τῆς ἐσωτερικῆς ρύπανσης δξένεται κατὰ πολὺ. Μιὰ ἰδιαίτερη ἀπειλὴ εἶναι ἡ αἰθάλη, σύμφωνα μὲ τοὺς ὑπεύθυνους συντηρητὲς τοῦ ναοῦ. Χαρακτηριστικά, τὸ κτίριο κάηκε τὸ 1917 μ.Χ. καὶ σήμερα, σὲ λιγότερο ἀπὸ 80 ἔτη, οἱ ἐσωτερικὲς ζωγραφικὲς διακοσμήσεις γίνονται ἀπὸ τὴν ἀρχή. Ο χῶρος αὐτὸς φαίνεται νὰ εἶναι ἐντελῶς ἀπροστάτευτος ἔναντι ὅλων τῶν παραγόντων ποὺ ἀποδεδειγμένα καταστρέφουν τοὺς πολιτιστικοὺς θησαυροὺς ποὺ στεγάζονται σὲ αὐτὴν τὴν παλιά, φημισμένη ἐκκλησία τῆς Θεσσαλονίκης.

Στὰ σχήματα 2 (α, β, γ), παρουσιάζονται οἱ μετρημένες ἐκτὸς τοῦ Ἀρχαιολογικοῦ μουσείου τῆς Θεσσαλονίκης συγκεντρώσεις τῶν ἀερίων ρύπων O₃, NO, NO₂, μαζὶ μὲ τὶς ὑπολογισμένες ἀπὸ τὸ μοντέλο συγκεντρώσεις μέσα στὴν αἴθουσα τῆς Βεργίνας, γιὰ τὸ διήμερο 6-7 Μαρτίου 1995.

Γιὰ τὴν αἴθουσα τῆς Βεργίνας, τὰ ἐπίπεδα τῶν ρύπων πρωταρχικὰ φαίνεται νὰ καθορίζονται ἀπὸ τὸ πότε τίθεται σὲ λειτουργία ὁ κλιματισμός, δηλαδὴ ἀπὸ τὸ πότε εἰσάγεται φρέσκος ἀέρας στὸ χῶρο καὶ σὲ τὶ ποσότητες. Τονίζεται ὅτι στὸ σύστημα τῶν ἀεραγωγῶν δὲν ὑπάρχουν εἰδικὰ φίλτρα ἀέρα, κατάλληλα γιὰ τὴν καταστροφὴ τῶν ὑπὸ μελέτη ἀέριων ρύπων. Οἱ ποσότητες νέου ἀέρα ποὺ εἰσάγονται στὸ χώρο, μέσω τῶν ἀεραγωγῶν, δὲν εἶναι σταθερές. Οἱ ὥρες ποὺ αὐξάνεται ὁ ρυθμὸς εἰσροής νέου ἀέρα στὴν αἴθουσα, εἶναι οἱ ὥρες ποὺ καὶ τὰ ἐπίπεδα τῆς ρύπανσης τῆς ἐξωτερικῆς ἀτμόσφαιρας εἶναι ὑψηλά. Οἱ ἀνάγκες λοιπὸν ἐξαερισμοῦ τοῦ χώρου εὐνοοῦν τὴ δημιουργία ὑψηλῶν συγκεντρώσεων τῶν ἀερίων ρύπων μέσα στὴν αἴθουσα. Οἱ προβλεπόμενες ἀπὸ τὸ μοντέλο συγκεντρώσεις γιὰ τὸ NO ἐλάχιστα ὑπολείπονται τῶν ἐξωτερικῶν τιμῶν του, κατὰ τὶς ὥρες ποὺ λειτουργεῖ τὸ μηχανικὸ σύστημα ἐξαερισμοῦ. Ἀνάλογη εἶναι καὶ ἡ συμπεριφορὰ τοῦ NO₂. Μάλιστα κάποιες ὥρες οἱ «ἐν-



Σχήμα 1: ΑΓΙΑ ΣΟΦΙΑ (6, 7 Μαρτίου 1995).



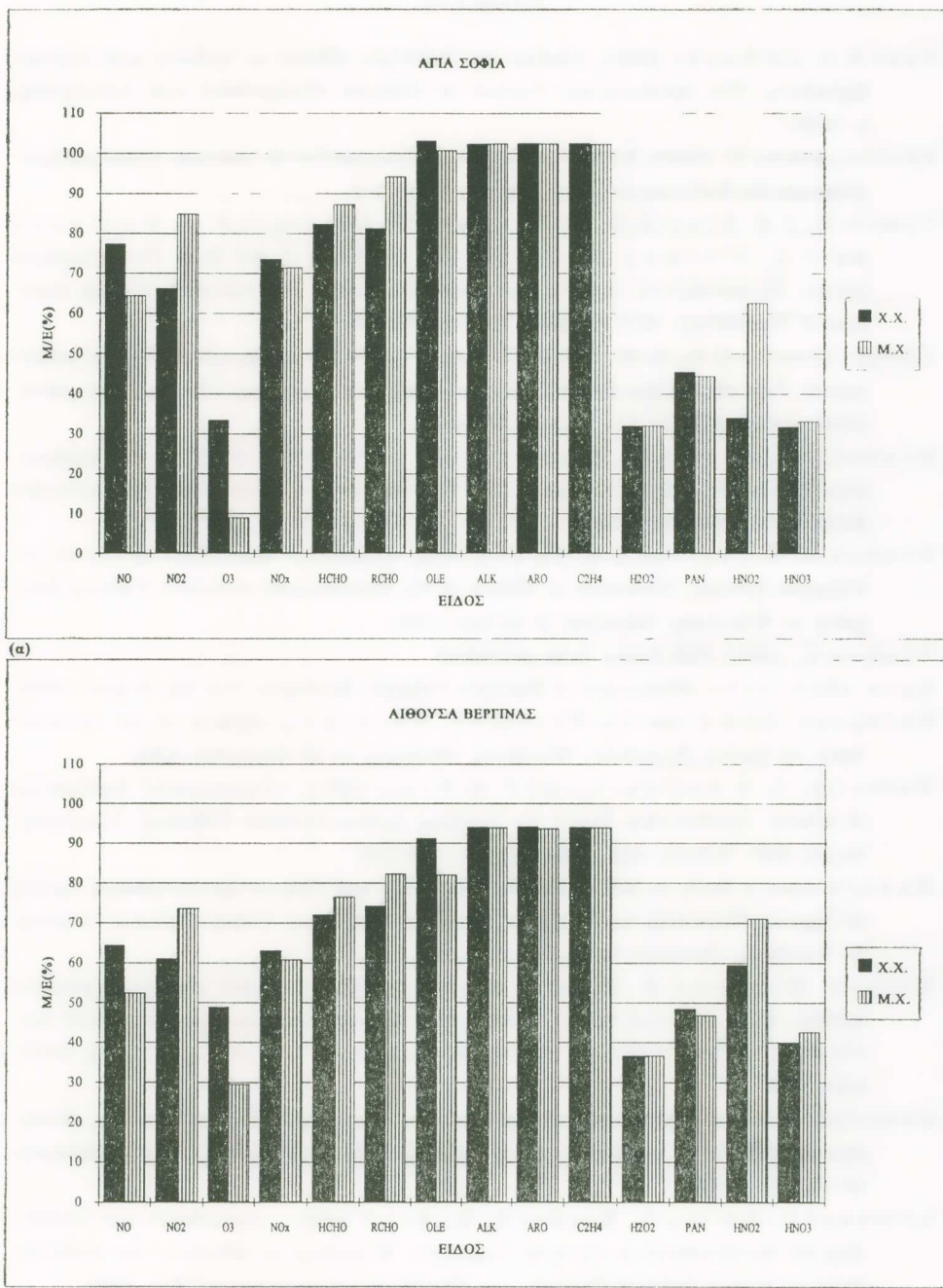
Σχήμα 2: ΑΙΘΟΥΣΑ ΒΕΡΓΙΝΑΣ (6, 7 Μαρτίου 1995).

τός» συγκεντρώσεις του NO_2 προβλέπεται νά υπερβαίνουν τις «έκτός». Αύτό πιθανότατα διφεύλεται στὸ γεγονός ὅτι, γιὰ ἀρκετὲς ὕρες, τὰ ἐπίπεδα τῶν «έκτός» συγκεντρώσεων διατηροῦνται ὑψηλά. Τὶς ἔδεις ὅμως ὕρες, εἶναι αὐξημένη ἡ εἰσροὴ φρέσκου ἀέρα στὸ χῶρο καὶ λόγω τοῦ μειωμένου ρυθμοῦ φωτόλυσης στὸ ἐσωτερικὸ εύνοεῖται ἡ συσσώρευση τοῦ NO_2 . Γιὰ τὸ δόζον οἱ ἐσωτερικὲς συγκεντρώσεις δείχνουν καὶ αὐτές ἐξάρτηση ἀπὸ τὸ ρυθμὸ διεσδύσης φρέσκου ἀέρα στὸ χῶρο. Ὑπολείπονται τῶν ἐξωτερικῶν συγκεντρώσεων ἀλλὰ ὅχι πολύ. Τὴ νύχτα ποὺ τὸ μηχανικὸ σύστημα ἐξαερισμοῦ δὲν λειτουργεῖ, τὰ φῶτα σβήνουν, τὸ μοντέλο δείχνει μηδενισμὸ τῶν ρύπων.

Τὸ σχῆμα 3 δίνει γιὰ ἓνα διήμερο τοὺς λόγους τῶν μέσων συγκεντρώσεων ($M/E = \mu\text{έσα}/\text{εξώ}$) ὄρισμένων ἀερίων ρύπων, στὰ δύο κτίρια, ὅπως προκύπτουν μὲ τὴ βοήθεια τῶν ἀποτελεσμάτων τοῦ μοντέλου. Προβλέπονται ὑψηλὰ ποσοστὰ κατὰ κανόνα καὶ συγκρίσιμα στὰ δύο κτίρια. Δηλαδὴ τὸ κλιματιζόμενο κτίριο, ποὺ δὲν διαθέτει ὅμως κατάλληλα φίλτρα ἀέρα γιὰ τὴν καταστροφὴ ἀέριων ρύπων, δὲν προσφέρει μεγάλη προστασία στὰ στεγαζόμενα ἔργα τέχνης. Σὲ αὐτὸ τὸ κτίριο, ὅμως, οἱ συνθῆκες μποροῦν νά ἐλεγχθοῦν εύκολότερα ἀπὸ τὶς συνθῆκες στὴν ἐκκλησία, ὅπου τὰ πάντα εἶναι ἔκτὸς ἐλέγχου.

Οἱ μέσες ροὲς πρὸς τὶς ἐσωτερικὲς ἐπιφάνειες γιὰ δύο δραστικοὺς ρύπους, τὸ O_3 καὶ τὸ HNO_3 , ὑπολογιζόμενες κάτω ἀπὸ τὶς ὑποθέσεις ποὺ δεχτήκαμε γιὰ τὴν Μὲ Χημεία περίπτωση, εἶναι γιὰ τὴν Ἀγία Σοφία 8 καὶ 5 $\mu\text{g} \cdot \text{m}^{-2} \text{h}^{-1}$, ἀντίστοιχα. Γιὰ τὴν αἴθουσα τῆς Βεργίνας οἱ ἀντίστοιχες τιμὲς εἶναι 13.6 $\mu\text{g} \cdot \text{m}^{-2} \text{h}^{-1}$ γιὰ τὸ O_3 and 5 $\mu\text{g} \cdot \text{m}^{-2} \text{h}^{-1}$ γιὰ τὸ HNO_3 .

Ἐν κατακλεῖδι, τὰ ἀποτελέσματα τοῦ μοντέλου δίνουν μιὰ πρώτη ἔκτιμηση τῶν ρυπαντικῶν ἰδιοτήτων τοῦ ἀέρα στὰ κτίρια αὐτά, ποὺ στεγάζουν παλαιὰ καὶ ἀνεκτίμητα ἔργα τέχνης. Τὸ θέμα ὅμως χρειάζεται πολὺ βαθύτερη προσέγγιση, ἡ ὅποια θὰ περιλαμβάνει ποιοτικὴ καὶ ποσοτικὴ μελέτη τῶν ἐσωτερικῶν πηγῶν, δλοκληρωμένη μελέτη τοῦ ἐξαερισμοῦ, ταυτόχρονες μετρήσεις μεγάλου ὀριθμοῦ ρύπων ἐντὸς καὶ ἔκτὸς τοῦ κτιρίου, καθὼς καὶ τοῦ φωτισμοῦ καὶ τῆς σχετικῆς ὑγρασίας. Ἐδὲν ἀνιχνεύθει πλήρως τὸ θέμα εἶναι δυνατὸν νά προταθοῦν λύσεις ούσιαστικὲς γιὰ μείωση τῆς ἐσωτερικῆς ρύπανσης στὰ κτίρια αὐτά. Τὸ μοντέλο ἀποτελεῖ ἓνα πολύτιμο ὁδηγὸ στὴν διερεύνηση τοῦ ρόλου ὅλων τῶν παραμέτρων τοῦ προβλήματος καὶ τῆς ἀλληλεπίδρασής τους.



Σχήμα 3 (α, β): Σύγκριση των μέσων λόγων των δέριων βύποιν για διάφορα.

ΑΝΑΦΟΡΕΣ

- B a e r N. S. and B a n k s (1985), «Indoor Air Pollution: Effects on Cultural and Historic Materials». *The International Journal of Museum Management and Curatorship* 4 : 9-20.
- B r i b l e c o m b e P. (1990), Review article: «The Composition of Museum Atmospheres». *Atmospheric Environment* Vol. 24B, No. 1, pp. 1-8.
- C a s s G. R., J. R. D r u z i k, D. G r o s j e a n, W.W. N a z a r o f f, P. M. W h i t m o r e and C. L. W i t t m a n (1989), «Protection of Works of Art from Photochemical Smog». *Environmental Quality Laboratory Report 28*. Pasadena: California Institute of Technology. GCI Scientific Program Report.
- C h r i s t o f o r o u C. S., L. G. S a l m o n and G. R. C a s s (1994), «Deposition of Atmospheric Particles within the Buddhist Cave Temples at Yungang, China», *Atmospheric Environment* Vol. 28, No. 12, pp. 2081-2091.
- D r a k o u G., C. Z e r e f o s, I. Z i o m a s (1995a), «A Preliminary Study on the Relationship between Indoor and Outdoor Air Pollution Levels», *Fresenius Environmental Bulletin* (4 : 689-694, 1995).
- D r a k o u G., C. Z e r e f o s, I. Z i o m a s (1995b), «Numerical Simulations of Indoor Air Pollution Levels», Workshop on Effects of the Environment on Indoor Cultural Property in Wurzburg, Germany 11-13 Dec. 1995.
- D r a k o u G., (1996) PhD thesis, to be published.
- E u r o p e a b s t r a c t s, «Protection of Europe's Cultural Heritage», Vol. 33, October 1995.
- E u r o p e a n C o m m i s s i o n R e s e a r c h W o r k s h o p, «Effects of the Environment on Indoor Property», Wurzburg, Germany 11-13 December 1995.
- H a l e s C h., A. M. R o l l e n s o n and F. H. S h a i r (1974), «Experimental Verification of Linear Combination Model for Relating Indoor-Outdoor Pollutant Concentrations», *Env. Science and Technology* 8 : 452-453.
- H a v e r m a n s J. B. G. A. (1995), «Influences of SO₂ and NO_x on the Accelerated Ageing of Paper», Workshop on Effects of the Environment on Indoor Cultural Property in Wurzburg, Germany 11-13 Dec. 1995.
- H i s h a m M o h a m e d W. H. and D. G r o s j e a n (1991), «Sulfur Dioxide, Hydrogen Sulfide, Total Reduced Sulfur, Chlorinated Hydrocarbons and photochemical oxidants in Southern California Museums». *Atm. Envir. Vol. 25 A*, No. 8, pp. 1497-1505, 1991.
- L a r s e n R. (1995), «Deterioration and Conservation of Vegetable Tanned Leather», Workshop on Effects of the Environment on Indoor Property στὸ Wurzburg, Germany 11-13 Dec. 1995.
- L e i s s n e r J., M a r t i n G., B l a d e s N., R e d o l P. (1995), «Assessment and Monitoring the Environment of Cultural Property», Workshop on Effects of the Environment on Indoor Cultural Property στὸ Wurzburg, Germany 11-13 Dec. 1995.
- N a z a r o f f W.W. and G. R. C a s s (1981), «Mathematical Modeling of Chemically Reactive Pollutants in Indoor Air.: Env. Science and Technology 7 : 924-934.

- Nazaroff W.W., A.J. Gadgil and C.J. Weschler (1993), «Critique of the Use of Deposition Velocity in Modeling Indoor Air Quality». *Modeling of Indoor Air Quality and Exposure*, ASTM STP 1205, Niren L. Nagda Ed., American Society for Testing and Materials, Philadelphia, 1993, pp. 81-104.
- S hair F. H. and K. L. Heitner (1974), «Theoretical Model for Relating Indoor Pollutant Concentrations to Those Outside». *Env. Science and Technology* 8 : 444-451.
- Thomson G. (1978), «The Museum Environment», London: Butterworths.

S U M M A R Y

Indoor air pollution: A threat to our cultural heritage.

Research over the past 20 years has shown that air quality inside buildings can be in certain cases as polluted as the outdoor air depending on the pollutant. Since the early 1970s', investigators have reported indoor ozone concentrations which were a significant fraction (greater than 0.5 in many cases) of those measured outdoors. In addition to ozone, high indoor/outdoor ratios for NO and NO¹ and other reactive species have also been reported by several investigators. This is important because of the adverse effects of air pollutants on the works of art. Indoor air pollutant levels are essentially unknown for museums, churches, archives in Greece, despite the extensive research of outdoor air pollutants carried out for Greek cities.

The research on the preservation of works of art housed inside buildings is an interdisciplinary exercise involving various scientific disciplines. A deteriorating factor which requires attention is the air pollution inside the buildings housing works of art. Concerning the indoor air pollutant levels several questions are raised such as: i) What are the parameters playing an important role on the indoor air quality and in what way they interact? ii) What are the mechanisms govern the deposition of the air pollutants on the indoor surfaces? In addressing such problems, indoor air quality mathematical models describing the concentrations and fate of indoor air compounds constitute important tools. The use of mathematical models for the simulation of indoor pollutant concentrations can be used to guide environmental research indoors. For example to diagnose the causes of observed indoor pollutant concentrations or to investigate the effectiveness of air purification systems or to predict how a modification in the building's operation will affect the indoor air quality. Furthermore, assuming that the deterioration of works of art is pro-

portional to the fluxes of the reactive species to their surfaces, it is possible to estimate from the model results the potential risk of damage to the housed works of art (Oskaynak et al., 1982; E.P.A., 1987; Cass et al., 1988; Weschler et al., 1989).

In the present work we represent the calculations of the indoor air pollutant concentration and the corresponding fluxes of reactive gases as O^3 and HNO^3 into representative buildings, one traditional 8th century Byzantine Church and one new museum (with air conditioning, ventilation and hearing system). The calculations are the results of the applications of an indoor air quality model (Nazaroff and Cass 1986-89), based on measured data.

As the model results have shown, the indoor/outdoor pollutant concentration ratios are comparable in these buildings and for some species these ratios are very high in both buildings. In most cases these ratios are higher of 30%, and depending on outdoor air pollution levels, that means that in many days the indoor air pollutant concentrations in the two buildings are higher than the air quality standards required for cultural heritage preservation. For example, the model have shown that the average calculated fluwes to interior surfaces for two reactive species, O^3 and HNO^3 are for Aghia Sofia 8 and 5 $\mu\text{g} \cdot \text{m}^{12} \cdot \text{h}^{11}$, respectively. The corresponding values for Vergina hall are 13,6 and 5 $\mu\text{g} \cdot \text{m}^{22} \cdot \text{h}^{11}$ for O^3 and HNO^3 .

Therefore measures should be taken to preserve the important and irreplaceable works of art which are housed inside them.

The present work seeks also to underline the fact that the specified standards for indoor air quality in buildings which house cultural property should be more stringent than the health-based air quality standards, considering the need to preserve unique materials for long periods of time (Thomson, 1978; Shaver et al. 1983; E.P.A., 1987; Baer and Banks, 1985; Cass et al., 1988; Brimblecombe, 1990; Cass, 1995 private communication). The recommended objectives for indoor air pollutants are a few parts per billion. These objectives combined with the fact that indoor air pollution is correlated with the outdoor air quality and with the building system, clearly shows that the indoor air quality problem occurs not only in buildings found in cities with high outdoor air pollution levels but also in some buildings found in remote locations (Drusik et al., 1990; Cass et al., 1991).